



## การนำส่งสารฮอร์โมนเพศผู้ $17\alpha$ -Methyltestosterone เข้าสู่เอ็มบริโอ ด้วยสนามไฟฟ้าพัลส์เพื่อการแปลงเพศปลานิลเชิงพาณิชย์

### Delivery of $17\alpha$ -Methyltestosterone through Tilapia Embryos by Electrical Pulse Inductions for Commercial Sex Reversal

ศักยชิน บุญถวิล<sup>1\*</sup>, ธเนศ จันทเดช<sup>1</sup>, พันธิมา งามเกาะ<sup>1</sup>, คทา จารุงรังสี<sup>2</sup> และ อติสร เตือนตรานนท์<sup>2</sup>

Sakshin Bunthawin<sup>1\*</sup>, Thanate Juntadech<sup>1</sup>, Pantima Ngimkoh<sup>1</sup>,

Kata Jaruwongrungee<sup>2</sup> and Adisorn Tuantranont

<sup>1</sup> หน่วยงานวิจัยชีวเทคโนโลยีของกลศาสตร์ไฟฟ้า วิทยาศาสตร์ฟิสิกส์ คณะเทคโนโลยีและสิ่งแวดล้อม มหาวิทยาลัยสงขลานครินทร์

<sup>2</sup> ศูนย์เทคโนโลยีอิเล็กทรอนิกส์และคอมพิวเตอร์แห่งชาติ สำนักงานพัฒนาวิทยาศาสตร์และเทคโนโลยีแห่งชาติ

<sup>1</sup> Biotechnology of Electromechanics, Science of Physics, Faculty of Technology and Environment, Prince of Songkla University

<sup>2</sup> National Electronics and Computer Technology Center, National Science and Technology Development Agency

Received : 11 March 2020

Revised : 28 May 2020

Accepted : 15 August 2020

#### บทคัดย่อ

งานวิจัยนี้ทำการแปลงเพศปลานิลให้เป็นเพศผู้เพื่อประโยชน์เชิงพาณิชย์โดยวิธีกระตุ้นเอ็มบริโอสายพันธุ์จิตรลดา (*Oreochromis niloticus* L., Chitralada) ระยะพัฒนาการ “segmentation” ถึง “pharyngula” (2-3 วันหลังปฏิสนธิ) ด้วยสนามไฟฟ้าพัลส์รูปคลื่นสี่เหลี่ยม ชดเชยไอออนโซเดียมไฟฟ้า 100-500 โวลต์ (ความเข้มสนามไฟฟ้า 25-125 กิโลโวลต์ เมตร<sup>-1</sup>) อัตราส่วนสัญญาณบวกและศูนย์ 50:50 ไมโครวินาที (mark space ratio) คาบสัญญาณ 100 ไมโครวินาที จำนวนสัญญาณพัลส์ 3 ลูกคลื่น สารละลายที่ใช้กระตุ้นเอ็มบริโอผสมฮอร์โมนเพศผู้  $17\alpha$  -Methyltestosterone (MT) เข้มข้น 1,000 – 100,000 ไมโครกรัม ลิตร<sup>-1</sup> ผลการวิจัยพบว่าเอ็มบริโอที่ผ่านการกระตุ้นด้วยเงื่อนไขโซเดียมไฟฟ้า 350 โวลต์ ความเข้มข้นสารละลาย MT ที่ 5,000 ไมโครกรัม ลิตร<sup>-1</sup> ให้ผลอัตราเพศผู้สูงสุด (male-sex reversal rate, MSR) ที่ 89.42%±2.28% อัตราการฟัก (hatching rate, HR) 93.33%±0.58% และอัตราการรอด (survival rate, SR) 87.49%±1.71% ตามลำดับ โดยชุดควบคุมมีอัตราเพศผู้และเมีย (off-spring rate, OSR) คือ 59.71%±3.00% และ 46.33%±1.53% ตามลำดับ มีอัตราการฟัก (hatching rate, HR) 91.33%±1.53% และอัตราการรอด (survival rate, SR) 85.08%±4.16% (เพิ่มอัตราเพศผู้ได้มากกว่าเดิม 29.71%) ทำการตรวจสอบปริมาณฮอร์โมน MT ที่นำส่งเข้าสู่เอ็มบริโอด้วยเทคนิค LC-MS/MS และการแสดงออกของยีนด้วยเทคนิค “Quantitative real-time PCR” (qRT-PCR) ได้แก่ ยีนพัฒนาเพศผู้ (up-regulated genes) *amh*, *ar*, *dmrt1*, *bmp15*, *gfd9* ยีนพัฒนาเพศเมีย (down-regulated genes) *gsdf* และยีนที่แสดงออกต่อเนื่อง (housekeeping gene) *rpl13a* ตามลำดับ ทั้งนี้ชุดเอ็มบริโอที่ผ่านการกระตุ้นด้วยสนามไฟฟ้าพร้อมสารฮอร์โมนเพศ MT พบการแสดงออกของกลุ่มยีนพัฒนาเพศผู้

คำสำคัญ : ปลานิล ; อัตราแปลงเพศผู้ ; สนามไฟฟ้าแบบพัลส์ ; 17แอลฟา-เมทิลเทสโทสเตอโรน ; ยีน



### Abstract

The present study proposes an alternative technique of electrical sex reversal to enhance all-male sex reversal (MSR) of Nile tilapia using transient square pulse-electric fields for commercial benefits focusing on the study of mechanisms of electro-permibilization of  $17\alpha$ -Methyltestosterone (MT) androgen hormones through induced membrane of tilapia's embryo (*Oreochromis niloticus* L., Chitralada), during segmentation-pharyngula (2-3 days post fertilization). The technique were carried out for large-scale inductions of embryos suspensions with MT concentrations of 1,000 – 100,000  $\mu\text{g l}^{-1}$  using square-pulse electric fields of amplitudes 100-500 volts (electric field intensities of 25-125  $\text{kV m}^{-1}$ ), 100  $\mu\text{s}$  pulse-period (50:50 mark space ratio) and 3 square pulses, respectively. It was found that the most suitable conditions of 350 V with MT concentration of 5,000  $\mu\text{g l}^{-1}$  gave the maximum rate of male-sex reversal rate (MSR) of 89.42% $\pm$ 2.28%, hatching rate (HR) of 93.33% $\pm$ 0.58% and survival rate (SR) of 87.49% $\pm$ 1.71%, respectively. The off-spring rate (OSR) of male and female in the control group were 59.71% $\pm$ 3.00% and 46.33% $\pm$ 1.53%, respectively, with hatching rate (HR) of 91.33% $\pm$ 1.53% and survival rate (SR) of 85.08%  $\pm$  4.16% (increasing MSR of 29.71%). Verifications of MT delivery were carried out through LC-MS/MS technique and RNA expression profiles by extraction of total RNA from induced MT embryos. Genes of male-sex development (up-regulated genes) of *amh*, *ar*, *dmt1*, *bmp15*, *gfd9* and down-regulated genes of *gsdf* (where house keeping genes of *rpl13a*) were investigated by Quantitative real-time PCR. The induced MT embryos with transient square pulse-electric fields showed expression of male-sex development genes.

**Keywords :** tilapia ; sex reversal rate ; pulse electric fields ;  $17\alpha$ -Methyltestosterone ; gene



## บทนำ

ปลานิลเป็นสัตว์น้ำส่งออกสำคัญของประเทศและเป็นปลาเศรษฐกิจหลักของโลก ปัจจุบันความต้องการบริโภคปลานิลในตลาดโลกโดยเฉพาะในประเทศกลุ่มตะวันออกกลาง สหรัฐอเมริกา และยุโรป มีแนวโน้มเพิ่มสูงขึ้น ประเทศไทยส่งออกปลานิลไม่น้อยกว่า 4,000 ตันต่อปี คิดเป็น 52.7% ของผลผลิตการเลี้ยงสัตว์น้ำจืด (Department of Fisheries, 2017) ปลานิลที่มีขนาดน้ำหนักตัวมากจึงได้เปรียบในเชิงมูลค่า ทั้งนี้ปลาเพศผู้มีอัตราแลกเนื้อสูงและเจริญเติบโตเร็วกว่าเพศเมีย 25% (McAndrew, 1993) กอปรกับตัวเมียหยุดชะงักการเจริญเติบโตในขณะที่วางไข่ เกษตรกรจึงไม่เลี้ยงปลานิลรวมเพศในบ่อเดียวกันเพราะทำให้เจริญเติบโตช้าและเกิดโรคง่าย การเพาะเลี้ยงปลานิลเชิงพาณิชย์ในปัจจุบันทั้งหมดใช้วิธีบังคับเปลี่ยนเพศปลาให้เป็นเพศผู้ล้วน (ปลานิลหมัน “monosex”) ทั้งนี้ข้อมูลปัจจุบันฟาร์มปลานิลเชิงพาณิชย์จำนวน 300,000 แห่งทั่วประเทศ มีเพียงจำนวน 2,800 ฟาร์มที่ได้รับการรับรองมาตรฐานการเพาะเลี้ยง GAP (Good Agricultural Practice) และจำนวน 24,500 ฟาร์มที่ได้รับมาตรฐาน SL (Safety Level) คิดเป็น 9.1% ด้วยเหตุนี้ผู้ประกอบการส่วนใหญ่จึงเร่งปรับตัวพัฒนาวิธีการเพาะเลี้ยงปลานิลแปลงเพศให้ได้ตามมาตรฐานโดยเฉพาะประเด็นลดการใช้สารฮอร์โมนเพศสังเคราะห์และยาปฏิชีวนะในกระบวนการเพาะเลี้ยง

ในอดีตถึงปัจจุบันกระบวนการเปลี่ยนเพศปลานิลให้เป็นเพศผู้เชิงพาณิชย์มีหลายวิธีได้แก่ (1) การแยกเพศด้วยมือ (hand sexing) อาศัยผู้ที่มีความชำนาญและประสบการณ์ในการดูเพศปลาเพื่อคัดแยกเพศผู้ออกจากเพศเมีย วิธีนี้ก่อให้เกิดการสูญเสียในระหว่างคัดแยกประมาณ 50% ของผลผลิตและมีข้อผิดพลาด 2.7%-10% (Chervinski and Rothbard, 1982) (2) การผสมข้ามพันธุ์ (hybridization) คือการผสมข้ามชนิดของปลาในตระกูลปลานิล เป็นวิธีให้ผลไม่สม่ำเสมอและไม่สะดวกต่อการควบคุมความบริสุทธิ์ของสายเลือดปลาและลูกปลาแต่ละรุ่น กอปรกับต้องอาศัยการติดเครื่องหมายด้วยเทคนิค “gel electrophoresis” และ HPLC ในการแยกหาการเรียงตัวของยีนหรือ DNA เพื่อการจำแนกชนิดจากสารพันธุกรรมของปลา จึงใช้ต้นทุนการดำเนินการสูง และ (3) การใช้ฮอร์โมนแปลงเพศ เป็นวิธีการที่เกษตรกรนิยมใช้อยู่ในปัจจุบัน เพราะไม่ต้องเสียค่าใช้จ่ายในการเก็บพันธุ์ปลานิล ไม่ต้องคำนึงถึงสารพันธุกรรมหรือความบริสุทธิ์ของสายพันธุ์ปลา แบ่งเป็น 2 วิธีย่อย กล่าวคือ การให้ฮอร์โมนทางตรงและการให้ฮอร์โมนทางอ้อม วิธีทางตรงเป็นการให้ฮอร์โมนเพศผู้สังเคราะห์แอนโดรเจน (synthetic androgen hormone)  $17\alpha$ -Methyltestosterone (MT) ผสมในอาหารให้ลูกปลากินในช่วงที่ยังไม่ปรากฏเพศวันละ 5 มื้อ ด้วยอัตราส่วนฮอร์โมนเพศ 60 มิลลิกรัมต่ออาหารปลา 1 กิโลกรัม ทำซ้ำต่อเนื่องเป็นระยะเวลา 21-28 วัน สามารถเปลี่ยนเพศปลานิลให้เป็นเพศผู้ล้วนได้ไม่น้อยกว่า 86% สำหรับวิธีทางอ้อมเป็นวิธีที่ไม่ให้ลูกปลานิลสัมผัสกับฮอร์โมนโดยตรงในอดีตใช้เพื่อรองรับการส่งออกคู่ค้าในบางประเทศที่มีข้อกีดกันทางการค้าประเด็นเรื่องการปนเปื้อนสารฮอร์โมนในเนื้อปลา วิธีนี้มีข้อเสียเพราะอาศัยกระบวนการที่ซับซ้อน ค่าใช้จ่ายสูง ต้องใช้ผู้เชี่ยวชาญเฉพาะทาง ซึ่งมีโอกาสได้พ่อพันธุ์ปลาที่ดีมีเพียง 25% เท่านั้น (McAndrew, 1993)

วิธีดำเนินการแปลงเพศกับลูกปลานิลในปัจจุบันนิยมใช้สารฮอร์โมนเพศผู้สังเคราะห์ MT ผสมโดยตรงในอาหารปลา อย่างไรก็ตามวิธีดังกล่าวมีข้อด้อยบางประการ กล่าวคือกระบวนการจัดเตรียมอาหารปลาเม็ดที่คลุกเคล้ากับสารฮอร์โมนเพศ ต้องมีการเก็บรักษาเพื่อหลีกเลี่ยงแสงแดดและอุณหภูมิ การให้อาหารผสมฮอร์โมนเพศแก่ลูกปลาต้องทำวันละ 5 รอบ ทำซ้ำ



สม่ำเสมอต่อเนื่องกัน 21-28 วัน ซึ่งวิธีหว่านสุมอาหารเช่นนี้ไม่สามารถควบคุมผลการแปลงเพศกับปลาแต่ละตัวได้ ถือเป็น การแปลงเพศแบบกลุ่ม ประกอบกับการล้างทำความสะอาดบ่อเพื่อเปลี่ยนถ่ายน้ำต้องใช้แรงงานและค่าใช้จ่าย ทั้งนี้ระบบน้ำทิ้งจากฟาร์มส่วนมากเป็นระบบเปิด ประเด็นสารฮอร์โมนเพศสังเคราะห์ที่ตกค้างในน้ำทิ้งฟาร์มปลา ก่อนระบายสู่แหล่งน้ำภายนอกจึงเป็นเรื่องที่ต้องพิจารณา ในบางประเทศมีข้อบังคับกรณีสารฮอร์โมนเพศตกค้างในน้ำทิ้งไม่เกิน 1 ไมโครกรัม ลิตร<sup>1</sup> ต้องมีบ่อบำบัดน้ำแบบตกตะกอนและแบบฝุ้งเพื่อลดปริมาณสารฮอร์โมนในน้ำก่อนนำกลับมาใช้ใหม่หรือทิ้งสู่ภายนอก (Green and Teichert, 2000) ผลจากการคำนวณเชิงสถิติการผลิตลูกปลานิลแปลงเพศรวมจำนวน 600 ล้านตัวในประเทศ ต่อปีพบการใช้สารฮอร์โมน MT โดยเฉลี่ย 0.02 มิลลิกรัมต่อการผลิตปลานิลเพศผู้ 1 ตัว เกษตรกรจึงต้องใช้สารฮอร์โมน MT ปริมาณสูงถึง 12 กิโลกรัม (สารฮอร์โมนเพศ MT เฉลี่ย 400 บาท/กรัม คิดเป็นมูลค่า 4.8 ล้านบาทต่อ 12 กิโลกรัม) หากพิจารณาในภาพรวมสารเคมีที่มีมูลค่าเหล่านี้ถูกผสมลงไปในอาหารเพาะเลี้ยง มีโอกาสปนเปื้อนสู่สิ่งแวดล้อม แม้ว่า MT จะสลายตัวในน้ำได้ภายใน 7 วัน หลังสิ้นสุดการให้อาหาร MT แต่การเริ่มใช้อาหารผสม MT เพื่อการแปลงเพศลูกปลาใน แต่ละชุดกระชังนั้นเริ่มไม่พร้อมกัน ทำให้ระยะสิ้นสุดการให้ MT จึงไม่พร้อมกัน อัตราการตกค้างและสลายตัวของ MT จึงเป็น วงจรที่ไม่สิ้นสุดตลอดระยะเวลาการเพาะเลี้ยงทั้งปี (Srisakultiew, 2003)

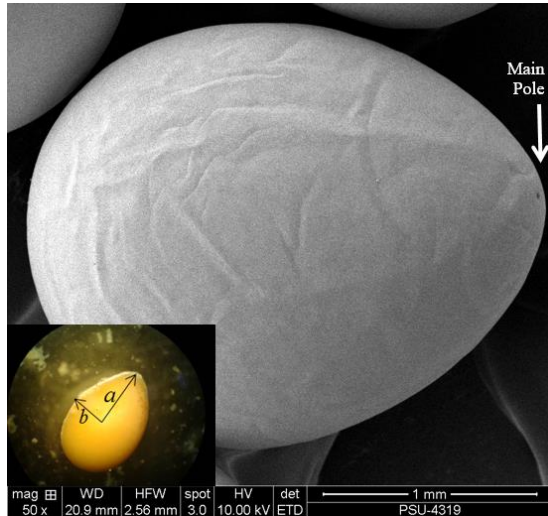
จากประเด็นปัญหาดังกล่าว ผู้วิจัยได้นำเสนอแนวทางการแปลงเพศปลานิลรูปแบบใหม่ด้วยวิธีไฟฟ้า (Bunthawin *et al.*, 2015) ซึ่งเป็นจุดเริ่มต้นครั้งแรกในการปรับเปลี่ยนรูปแบบการแปลงเพศปลานิลด้วยจุดประสงค์หลักเพื่อลดปริมาณการใช้ฮอร์โมนเพศผู้สังเคราะห์  $17\alpha$ -Methyltestosterone (MT) ลดระยะเวลาการแปลงเพศ และลดต้นทุนการผลิตลูกปลานิลแปลงเพศให้น้อยลงอย่างมีนัยสำคัญ ทั้งนี้เพื่อให้สอดคล้องตามแนวทางการรับรองมาตรฐาน GAP โดยเริ่มศึกษาจากตัวอย่างปลานิลที่เพาะเลี้ยงในฟาร์มภาคใต้สายพันธุ์จิตรลดา ทดลองที่ระยะเอ็มบริโออาศัยหลักการขยายรูที่ผิวเยื่อหุ้มเซลล์ให้เปิดกว้างขึ้นชั่วคราวด้วยสนามไฟฟ้าแบบพัลส์ที่เหนี่ยวนำส่งสารฮอร์โมนเพศผู้ MT ความเข้มข้นต่ำระดับไมโครกรัม/ลิตร นำร่องในงานวิจัยเฟสแรกโครงการ “การแปลงเพศปลานิลและปลาเศรษฐกิจด้วยเทคนิคขยายรูเยื่อหุ้มเซลล์ในสนามไฟฟ้าแบบพัลส์” ได้รับทุนสนับสนุนจากศูนย์เทคโนโลยีอิเล็กทรอนิกส์และคอมพิวเตอร์แห่งชาติ สำนักงานพัฒนาวิทยาศาสตร์และเทคโนโลยีแห่งชาติ (รหัสโครงการ NT-FD-B-22-EDS-19-56-02) ต่อมาได้รับทุนสนับสนุนจากโปรแกรมเซนเซอร์ของฝ่ายบริหารคลัสเตอร์และโปรแกรมวิจัยโครงการ “การแปลงเพศปลานิลด้วยเทคนิคไฟฟ้าจากต้นแบบสู่ระดับพร้อมใช้งานเชิงพาณิชย์” (รหัสโครงการ P15-50561) ได้รับการคัดเลือกเป็นผลงานเด่นของ สวทช. ประจำปี 2560 และได้รับรางวัลระดับชาติ “ผลงานที่น่าลงทุนที่สุด” (The most interesting technology for investment) งาน Thailand Tech Show 2017 จัดโดย สวทช. ร่วมกับกระทรวงวิทยาศาสตร์ โดยมีชุดต้นแบบ “อุปกรณ์แปลงเพศปลานิลด้วยวิธีไฟฟ้า” (Fish X-Change) ซึ่งกระตุ้นเอ็มบริโอในไข่ไฟฟ้าระบบปิด ใช้สนามไฟฟ้าพัลส์ซึ่งเป็นเทคโนโลยีสะอาด (green technology) สามารถควบคุมการปนเปื้อนสารเคมีสู่สิ่งแวดล้อม ลดต้นทุนการผลิตลูกปลานิลแปลงเพศ ลดปริมาณการใช้ฮอร์โมนน้อยลงกว่าวิธีที่เกษตรกรนิยมใช้กันอยู่ในปัจจุบัน 3,600 เท่า และลดระยะเวลาการแปลงเพศปลานิลจากวิธีเดิม 21-28 วัน เหลือเพียง 5-15 นาที (ลดลง 6,000 เท่า) ต่อชุดการทดลอง ตัวเทคโนโลยีในขณะนี้อยู่ในระหว่างการตรวจสอบและปรับปรุงประสิทธิภาพ



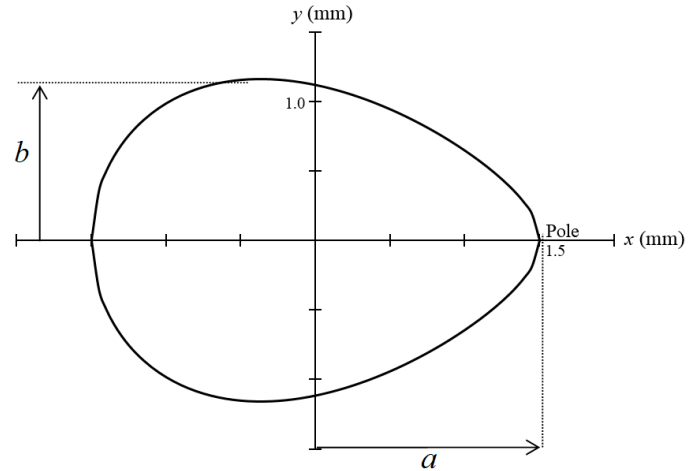
โครงการวิจัยนี้ทำการศึกษาผลการนำส่งสารฮอร์โมนเพศ  $17\alpha$ -Methyltestosterone (MT) ที่เข้าสู่ภายในเซลล์เอ็มบริโอด้วยวิธีไฟฟ้าเพื่อตรวจสอบปริมาณสารฮอร์โมนที่ถูกนำส่ง ศึกษาความสัมพันธ์ระหว่างปริมาณฮอร์โมนกับตัวแปรทางไฟฟ้าเทียบกับอัตราการแปลงเพศผู้ อัตราการฟัก และอัตราการรอด โดยพิจารณาจาก “RNA expression profile” ของยีนที่เกี่ยวข้องด้วยวิธีสกัด total RNA จากเอ็มบริโอที่ได้รับฮอร์โมนเพศ MT ผ่านการกระตุ้นด้วยสนามไฟฟ้าพัลส์ ทั้งนี้ยีนที่พิจารณาได้แก่ กลุ่มยีนที่มีปริมาณการแสดงออกแปรผลตามปริมาณสารฮอร์โมนเพศ MT ที่ถูกนำส่งเข้าเซลล์ ได้แก่ กลุ่มยีนที่พบการแสดงออกมากขึ้นเกี่ยวข้องกับพัฒนาการเพศผู้ กลุ่มยีนเกี่ยวกับการสังเคราะห์ฮอร์โมนเพศ และกลุ่มยีนที่ลดการทำงานเกี่ยวข้องกับการสร้างรังไข่ ตามลำดับ ยีนสองกลุ่มแรกเป็นยีนที่สัมพันธ์กับการพัฒนาเพศผู้ในปลาชนิด และยีนกลุ่มสุดท้ายสัมพันธ์กับการพัฒนาเพศเมีย การแสดงออกของยีนทั้งหมดถูกนำมาวิเคราะห์ด้วยเทคนิค Quantitative real-time PCR (qRT-PCR) เพื่อเปรียบเทียบกับกลุ่มควบคุมที่ไม่ได้รับการกระตุ้นด้วยสนามไฟฟ้าพัลส์และสารฮอร์โมนเพศ โดยในส่วนของ การตรวจสอบเชิงปริมาณของสารฮอร์โมนเพศที่ถูกนำส่งเข้าสู่เอ็มบริโอดำเนินการด้วยเทคนิค Liquid Chromatography Mass Spectrometry/Mass Spectrometry (LC-MS/MS) เพื่อเปรียบเทียบปริมาณสารฮอร์โมนเพศ MT ที่อยู่ภายในเอ็มบริโอทั้งก่อนและหลังการกระตุ้นด้วยสนามไฟฟ้าชุดเงื่อนไขต่างๆ ทั้งนี้เมื่อทราบกลไกการนำส่งสารฮอร์โมนเพศแล้วจึงขยายผลสู่กระบวนการพัฒนาผลงานเพิ่มประสิทธิภาพการแปลงเพศผู้ด้วยเงื่อนไขที่เหมาะสมโดยพิจารณาจากการเพิ่มอัตราเพศผู้และอัตราการเปิดขยายรูที่ผิวเซลล์ที่สอดคล้องกับผลการตรวจสอบเป็นลำดับถัดไป

#### แบบจำลองทางไฟฟ้าของไข่ปลาชนิด (เอ็มบริโอ) และทฤษฎีที่เกี่ยวข้อง

ไข่ปลาชนิดสายพันธุ์จิวรลดา (*Oreochromis niloticus* L., Chitalada) ระยะเอ็มบริโอช่วงอายุ 2-3 วันหลังปฏิสนธิ มีลักษณะทรงรี (ภาพที่ 1a) ระยะกึ่งแกนเอก (semi-major axis) ตามแนวแกน x มีค่าเฉลี่ย  $a = 1.49 \pm 0.07$  มิลลิเมตร และระยะกึ่งแกนโท 2 ตามแนวแกน y (semi-minor axis) มีค่า  $b = 1.05 \pm 0.06$  มิลลิเมตร (ภาพที่ 1b) ตามลำดับ



(a)



(b)

**ภาพที่ 1** ลักษณะทางกายภาพเอ็มบริโอ *O. niloticus* อายุระหว่าง “segmentation” ถึง “pharyngula” (2-3 วันหลังปฏิสนธิ)

(a) สัณฐานทรงรีมีขนาดระยะกึ่งแกนเอก  $a = 1.49 \pm 0.07$  มิลลิเมตร และกึ่งแกนโท  $b = 1.05 \pm 0.06$  มิลลิเมตร ค่าเฉลี่ย  $\pm$  SD และ (b) แบบจำลองทางไฟฟ้าของเอ็มบริโอ “Hen-egg RC model” สำหรับใช้ในการคำนวณค่า ศักย์ไฟฟ้าสำหรับกระตุ้น

เมื่อเอ็มบริโออยู่ในสารละลายฮอร์โมนเพศและถูกกระตุ้นด้วยสนามไฟฟ้าพัลส์ภายใต้เงื่อนไขทางไฟฟ้าที่เหมาะสม จะเกิดศักย์ไฟฟ้าเหนี่ยวนำตกคร่อมบริเวณเยื่อหุ้มเซลล์ (induced transmembrane potential,  $\psi$ ) การแพร่ผ่านของ สนามไฟฟ้าในสารละลายก่อให้เกิดการเคลื่อนที่ของไอออนที่อยู่ในสารละลายผ่านเข้าสู่เซลล์ด้วยแรงไดอิเล็กโตรฟอเรติก (dielectrophoretic force) (Pohl, 1978; Bunthawin *et al.*, 2007; Bunthawin *et al.*, 2011) ตามลำดับ เปรียบเสมือนเยื่อหุ้ม เซลล์พฤติกรรมตัวเป็นเก็บประจุไฟฟ้าในขณะที่มีกระแสไฟฟ้าไหลผ่านวงจรที่ประกอบด้วยตัวต้านทาน (R) และตัวเก็บประจุ ไฟฟ้า (C) ที่ต่อขนานกันเป็นชั้น (Bunthawin *et al.*, 2007; Bunthawin *et al.*, 2011; Bunthawin *et al.*, 2015) โดยมีค่าความ ต้านทานรวม (อิมพีแดนซ์, impedance) ขึ้นตรงกับสมบัติไดอิเล็กทริกของเยื่อหุ้มเซลล์และไซโทพลาสซึม (cytoplasm) ของ เอ็มบริโอ ทั้งนี้เยื่อหุ้มเซลล์มีลักษณะโครงสร้างแบบ “phospholipid bilayer” ประกอบด้วยชั้นไขมันและโปรตีน จัดเป็นวัสดุ ไดอิเล็กทริกที่มีสภาพนำไฟฟ้าต่ำเมื่อเทียบกับสภาพนำไฟฟ้าของไซโทพลาสซึมและของสารละลายฮอร์โมนเพศที่อยู่ภายนอก เซลล์ ในสภาวะการณ์ที่เอ็มบริโอถูกกระตุ้นด้วยสนามไฟฟ้าพัลส์ความเข้มสูงที่เหมาะสมจะทำให้เยื่อหุ้มเซลล์เกิดสภาวะไม่ เสถียรจนสูญเสียสมบัติไดอิเล็กทริกชั่วขณะ (dielectric breakdown) (Tsong, 1991) ผลของแรงทางไฟฟ้าทำให้เกิดการขยาย รูที่ผิวเซลล์กว้างขึ้น (ภาพที่ 2) ซึ่งสัมพันธ์ต่อการนำส่งสารฮอร์โมนเพศ MT ที่เป็นโมเลกุลขนาดใหญ่ที่อยู่ในสารละลายให้



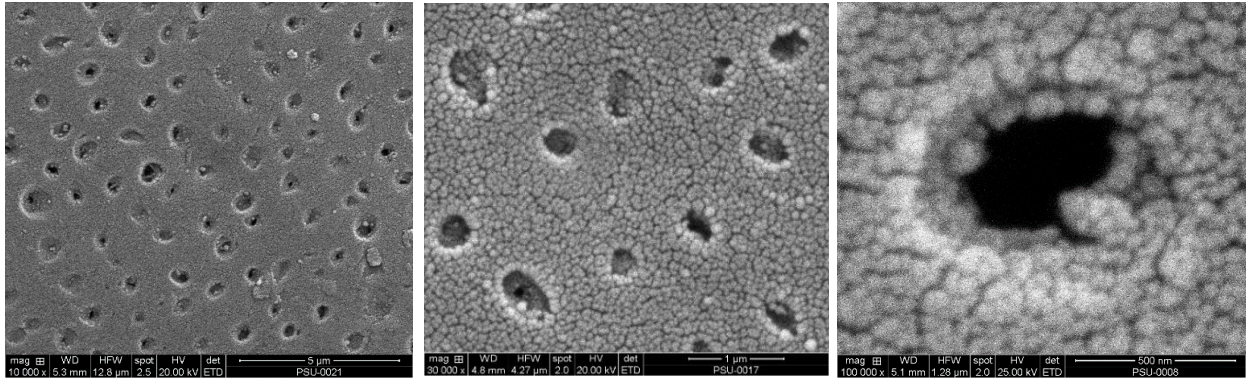
เคลื่อนที่รอดผ่านรูเข้าสู่ภายในเซลล์ได้โดยลำดับ ปฏิกิริยาการนี้ดังกล่าวเกิดขึ้นชั่วคราวภายใต้ห้วงระยะเวลาหนึ่งที่ได้รับผลกระทบจากสนามไฟฟ้า ถ้าหากสนามไฟฟ้ามีความเข้มไม่สูงเกินขีดจำกัดและมีค่าศักย์ไฟฟ้ากระตุ้นที่เหมาะสม รูที่ผิวเซลล์จะคืนสภาพกลับเมื่อไม่มีสนามไฟฟ้า (resealing pore) (Chang *et al.*, 1992)

การคำนวณค่าศักย์ไฟฟ้าที่ใช้กระตุ้นให้เกิดการขยายรูที่ผิวเซลล์เอ็มบริโอเพื่อการนำส่งสารฮอร์โมนเพศ MT เข้าสู่ภายในเซลล์มีความสัมพันธ์กับค่าอิมพีแดนซ์เชิงซ้อน (complex impedance,  $Z^*$ ) ซึ่งคำนวณจากแบบจำลองไฟฟ้า “Heng-egg RC model” (Bunthawin *et al.*, 2015) ที่ขึ้นกับสมบัติไดอิเล็กทริกขององค์ประกอบส่วนต่างๆ ของเอ็มบริโอ (ตารางที่ 1) ทั้งนี้เอ็มบริโอมีเปลือกห่อหุ้ม (embryo shell หรือ chorion) บริเวณชั้นนอก  $\delta_{om}$  มีความหนาประมาณ 5-6 ไมโครเมตร และชั้นใน (plasma membrane)  $\delta_{im}$  มีความหนาประมาณ 6-8 นาโนเมตรตามลำดับ ลักษณะรูที่ผิวเซลล์กระจายตัวอย่างสม่ำเสมอ ปากรูมีลักษณะปากปล่องภูเขาไฟ (volcano-shape pores) (ภาพที่ 2) โดยมีรูเอ็มบริโอขนาดใหญ่ (main pore) จำนวน 1 รูตั้งอยู่บริเวณปลายยอดด้านแหลมของเอ็มบริโอ (ภาพที่ 1a) พารามิเตอร์ทางไฟฟ้าที่ใช้กำหนดแบบจำลองได้แก่ สภาพนำไฟฟ้าของเยื่อหุ้มเซลล์ชั้นนอก ( $\sigma_{om}$ ) สภาพนำไฟฟ้าของเยื่อหุ้มเซลล์ชั้นใน ( $\sigma_{im}$ ) สภาพนำไฟฟ้าของไซโทพลาซึมชั้นนอก ( $\sigma_{oc}$ ) สภาพนำไฟฟ้าของไซโทพลาซึมชั้นใน ( $\sigma_{ic}$ ) สภาพนำไฟฟ้าของสารละลายฮอร์โมน ( $\sigma_s$ ) ค่าไดอิเล็กทริกของเยื่อหุ้มเซลล์ชั้นนอก ( $\epsilon_{om}$ ) ค่าไดอิเล็กทริกของเยื่อหุ้มเซลล์ชั้นใน ( $\epsilon_{im}$ ) ค่าไดอิเล็กทริกของไซโทพลาซึมชั้นนอก ( $\epsilon_{oc}$ ) ค่าไดอิเล็กทริกของไซโทพลาซึมชั้นใน ( $\epsilon_{ic}$ ) และของสารละลายฮอร์โมน ( $\epsilon_s$ ) ตามลำดับ ที่ซึ่งสัมพันธ์กับค่าอิมพีแดนซ์เชิงซ้อน  $Z_k^* = (\sigma_k + j\omega\epsilon_k)^{-1}$  ขององค์ประกอบแต่ละส่วนของเซลล์เอ็มบริโอดังที่ได้อธิบายข้างต้น (เมื่อ  $k = im, om, ic, oc, s$ ) เมื่อ  $\epsilon_0 = 8.85 \times 10^{-12}$  (ฟารัด เมตร<sup>-1</sup>) คือค่าไดอิเล็กทริกของสุญญากาศ นิพจน์ตัวแปรเหล่านี้ในรูปสมการศักย์ไฟฟ้าเหนี่ยวนำเยื่อหุ้มเซลล์  $\psi_{RC}^{MEM}$  ตามแบบจำลอง (Bunthawin *et al.*, 2015) ได้เป็น

$$\psi_{RC}^{MEM} = \left[ \frac{Z_m^*}{(Z_c^* + Z_m^* + Z_s^*)} \frac{aE_{ext}}{1 - L_x} \right] \quad (1)$$

เมื่อ  $E_{ext}$  คือขนาดของความเข้มสนามไฟฟ้าจากภายนอก (ปริมาณสเกลาร์หน่วยโวลต์ต่อเมตร) มีค่าขึ้นกับศักย์ไฟฟ้าที่ป้อนให้แก่ขั้วไฟฟ้า ( $V_{ext}$ ) ซึ่งในการทดลองกำหนดระยะห่างของแผ่นขั้วไฟฟ้าคู่ขนานที่ระยะ 4 มิลลิเมตร  $L_k$  คือ “depolarization factor” (Bunthawin *et al.*, 2007; Bunthawin *et al.*, 2011) มีค่าขึ้นกับระยะกึ่งแกนเอก  $a$  และโท  $b$  ตามลำดับ (ภาพที่ 1b) ทั้งนี้ศักย์ไฟฟ้าเหนี่ยวนำตามสมการที่ 1 มีค่าสูงสุดที่บริเวณผิวเซลล์ปลายยอดของเอ็มบริโอส่วนที่อยู่ใกล้กับขั้วไฟฟ้า (ภาพที่ 3) และมีค่าแปรเปลี่ยนตามค่ามุมต่างๆ ที่บริเวณผิวเซลล์ (มุมวัดเทียบกับแนวแกน  $x$ ) ในทางปฏิบัติเมื่อเพิ่มค่า  $V_{ext}$  จนทำให้  $E_{ext}$  และ  $\psi_{RC}^{MEM}$  มีค่าสูงขึ้น หากปรับเพิ่มค่าให้สูงจนถึงสภาวะขีดเริ่ม “threshold pattern” รูที่ผิวเซลล์จะตอบสนองต่อสนามไฟฟ้าโดยเปิดขยายรูกว้างกว่าเดิมเป็นลำดับเท่า จนกระทั่งสิ้นสุดในกรณีที่ศักย์ไฟฟ้ามีค่าไม่เกินค่าวิกฤติ (critical potential) ซึ่งรูที่ผิวเซลล์จะหดตัวคืนกลับสู่สภาพเดิมภายหลังจากที่ไม่มีสนามไฟฟ้าตามกระบวนการแบบผันกลับ (reversible pore) (Chang *et al.*, 1992) ทั้งนี้จากการคำนวณค่าศักย์วิกฤติของเยื่อหุ้มเซลล์จากแบบจำลองทาง

ไฟฟ้าโดยอาศัยข้อมูลในตารางที่ 1 และเงื่อนไขทางไฟฟ้าที่ทำให้เกิดสภาวะการขยายรูปว่ามีค่า 0.21 โวลต์ ถึง 5.62 โวลต์ (Bunthawin *et al.*, 2015) ซึ่งสัมพันธ์กับศักย์ไฟฟ้าที่ป้อนให้กับขั้วไฟฟ้า  $V_{ext}$  ในช่วงประมาณ 300-400 โวลต์ ตรงกับขนาดความเข้มสนามไฟฟ้าภายนอก  $E_{ext} \approx 75-100$  กิโลโวลต์ เมตร<sup>-1</sup>



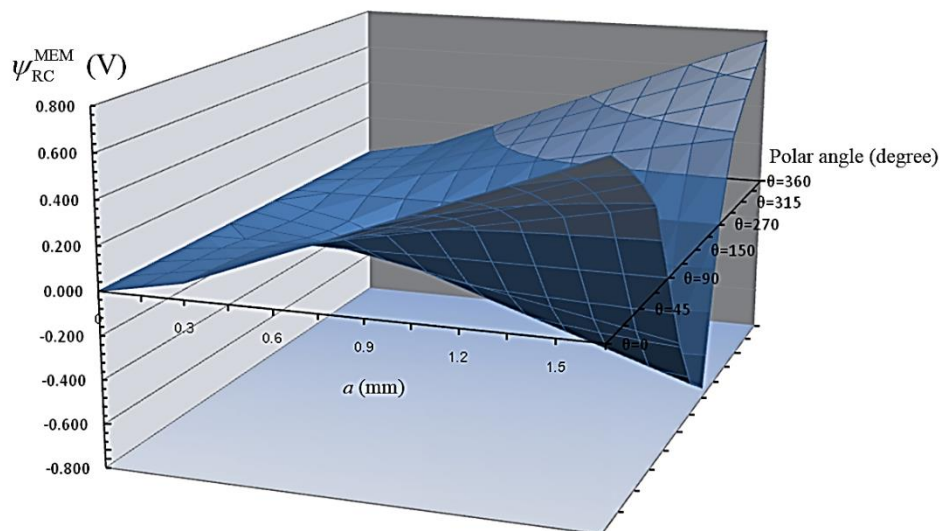
(a)

(b)

(c)

**ภาพที่ 2** ภาพถ่าย SEM ฝิวเอ็มบริโอ *O. niloticus* ที่มีอายุระหว่าง “segmentation” ถึง “pharyngula” (2-3 วันหลังปฏิสนธิ)

(a) ลักษณะกระจายตัวของรู (b) ความหนาแน่นรูต่อหน่วยพื้นที่ และ (c) ขนาดเส้นผ่านศูนย์กลางรูของเอ็มบริโอของชุดศักย์ไฟฟ้า 350 โวลต์ อัตราส่วนช่วงสัญญาณบวกและศูนย์ 50:50 ไมโครวินาที จำนวนพัลส์ 3 ลูกคลื่น



**ภาพที่ 3** ศักย์ไฟฟ้าเหนี่ยวนำที่ผิวเซลล์เอ็มบริโอ  $\psi_{RC}^{MEM}$  คำนวณตามระยะกึ่งแกนเอก (แกน x) แปรผันตามตำแหน่งมุมต่างๆ บริเวณผิวเซลล์ที่พลอตโดยใช้พารามิเตอร์ทางไฟฟ้าจากตารางที่ 1



**ตารางที่ 1** ค่าไดอิเล็กทริกและสภาพนำไฟฟ้าของเอ็มบริโอสำหรับคำนวณ  $\psi_{RC}^{MEM}$  ในแบบจำลองทางไฟฟ้า

ตัวแปรทางไฟฟ้า (หน่วย)	ค่าที่ใช้คำนวณ $\psi_{RC}^{MEM}$ ตามแบบจำลอง
$\sigma_{ic}$ (ซีเมนส์ เมตร <sup>-1</sup> )	0.10-0.50
$\sigma_{im}$ (ซีเมนส์ เมตร <sup>-1</sup> )	$10^{-7}$ - $10^{-5}$
$\sigma_{oc}$ (ซีเมนส์ เมตร <sup>-1</sup> )	$10^{-7}$ - $10^{-5}$
$\sigma_{om}$ (ซีเมนส์ เมตร <sup>-1</sup> )	$10^{-7}$ - $10^{-5}$
$\sigma_s$ (ซีเมนส์ เมตร <sup>-1</sup> )	0.001-0.500
$\epsilon_{ic} = \epsilon_{oc}$	50-60
$\epsilon_{im} = \epsilon_{om}$	5-20
$\epsilon_s$	78-80
$\delta_{im}$ (นาโนเมตร)	6-8
$\delta_{om}$ (ไมโครเมตร)	5-6

### วิธีดำเนินการวิจัย

#### การจัดเตรียมเอ็มบริโอเพื่อกระตุ้นด้วยสนามไฟฟ้า

ไข่ปลาไนล (เอ็มบริโอ) ที่ใช้ในงานวิจัยนี้คือสายพันธุ์จិតรดดา (*Oreochromis niloticus* L., Chitralada) ได้รับความอนุเคราะห์จากศูนย์วิจัยและพัฒนาพันธุ์สัตว์น้ำเพชรบุรี กองวิจัยและพัฒนาพันธุ์สัตว์น้ำ กรมประมง และศูนย์วิจัยและพัฒนาประมงน้ำจืดสงขลา มีระยะพัฒนาการช่วง “segmentation” ถึง “pharyngula” อายุ 2-3 วันหลังปฏิสนธิ (day post fertilization, dpf) ซึ่งพิสูจน์แล้วว่าเป็นช่วงระยะพัฒนาการที่ให้ผลดีที่สุด (Bunthawin *et al.*, 2015) คัดแยกเอ็มบริโอออกจากเอ็มบริโอเสียจากกลุ่มตัวอย่างและกำหนดขนาดตัวเอ็มบริโอผ่านกล้องจุลทรรศน์เพื่อหาค่าเฉลี่ยและบันทึกข้อมูลเชิงสถิติ แบ่งชุดควบคุมสำหรับการทดลองที่ไม่เหนี่ยวนำด้วยไฟฟ้า (control) และชุดกระตุ้นด้วยศักย์ไฟฟ้าเริ่มต้นทดสอบในช่วง 100-500 โวลต์ บรรจุเอ็มบริโอในสารละลายสูตร HEPES-buffered sucrose solution (EPM, จดสิทธิบัตร) ที่มีส่วนผสมของสารละลายฮอร์โมนเพศแอนโดรเจน 17 $\alpha$ -Methyltestosterone (MT) (Aldamex, CAS No. 58-18-4, Lot 201808002) สูตรส่วนผสม HEPES buffer (10 mM, pH 7.5 ปรับค่าด้วย NaOH) ความเข้มข้น 1,000 – 5,000 – 100,000 ไมโครกรัม ลิตร<sup>-1</sup> บรรจุลงในช่องขั้วไฟฟ้าที่จัดเตรียมไว้ (ขั้วไฟฟ้าแบบแผ่นคู่ขนานหลายช่องวางห่างกัน 4 มิลลิเมตร ความจุเอ็มบริโอ 2,000 ฟอง) จ่ายสัญญาณไฟฟ้าพัลส์รูปคลื่นสี่เหลี่ยมที่มีคาบสัญญาณ (pulse duration) 100 ไมโครวินาที (ช่วงสัญญาณบวกและศูนย์ส่วนละ 50 ไมโครวินาที) จำนวน 3 ลูกคลื่น เมื่อทำการกระตุ้นแล้วเสร็จ แช่เอ็มบริโอไว้ในสารละลายเดิม 15 นาที (cooling down) เพื่อให้เกิดสภาพคืนตัว (resealing) จากนั้นแบ่งตัวอย่างไปถ่ายภาพด้วยกล้องจุลทรรศน์อิเล็กตรอนแบบส่องกราด (Scanning Electron Microscope, SEM) เพื่อตรวจสอบลักษณะรูและขนาดเส้นผ่านศูนย์กลางรูที่



ปรากฏบนผิวเซลล์เอ็มบริโอแล้วเข้าสู่กระบวนการตรวจสอบปริมาณสารฮอริโมนด้วยเทคนิค “Liquid chromatography mass spectrometry/mass spectrometry” (LC-MS/MS) และตรวจสอบยีน “Quantitative real-time PCR” (qRT-PCR) โดยแบ่งกลุ่มตัวอย่างออกเป็นชุดการทดลองควบคุม (control) (จำนวน 700 ฟอง) และชุดศักย์ไฟฟ้า (ชุดละ 700 ฟอง) เมื่อกระตุ้นด้วยสนามไฟฟ้าแล้วแบ่งตัวอย่างไปตรวจสอบ SEM (จำนวน 50 ฟองต่อชุด), qRT-PCR (จำนวน 50 ฟองต่อชุด), LC-MS/MS (จำนวน 500 ฟองต่อชุด เทียบเท่าเอ็มบริโอที่มีมวลรวม 5 กรัม) เอ็มบริโอส่วนที่เหลือจำนวน 100 ฟอง ถูกนำไปเพาะเลี้ยงให้ฟักเป็นลูกปลาเพื่อติดตามผลอัตราการฟัก อัตราการรอด และอัตราการแปลงเพศ ตามลำดับ บันทึกอัตราเพศผู้โดยธรรมชาติของชุดควบคุม (off-spring rate, OSR) อัตราการฟัก (hatching rate, HR) และอัตราการรอด (survival rate, SR) ทำการทดลอง 3 ซ้ำ แสดงผลข้อมูลเชิงสถิติโดยคำนวณจากค่าเฉลี่ยและค่าเบี่ยงเบนมาตรฐานของแต่ละชุด (mean  $\pm$  SD) เพาะเลี้ยงจนลูกปลามีอายุ 2-3 เดือนแล้วตรวจสอบเพศโดยวิธีตรวจดูน้ำเชื้อเพื่อบันทึกอัตราการแปลงเพศผู้ (male sex reversal rate, MSR) ทั้งนี้ชุดอุปกรณ์กระตุ้นการขยายรูเยื่อหุ้มเซลล์ด้วยสัญญาณไฟฟ้าอยู่ในระหว่างกระบวนการจดอนุสิทธิบัตร (เลขที่คำขอ 1503001629) และสูตรตั้งต้นของสารละลายพร้อมกระบวนการควบคุมเพศเอ็มบริโอด้วยเทคนิคทางไฟฟ้าอยู่ในระหว่างกระบวนการจดสิทธิบัตร (เลขที่คำขอ 1501006035 และเลขที่ใบประกาศ 162164)

#### การเตรียมตัวอย่างเอ็มบริโอสำหรับ qRT-PCR และ LC-MS/MS

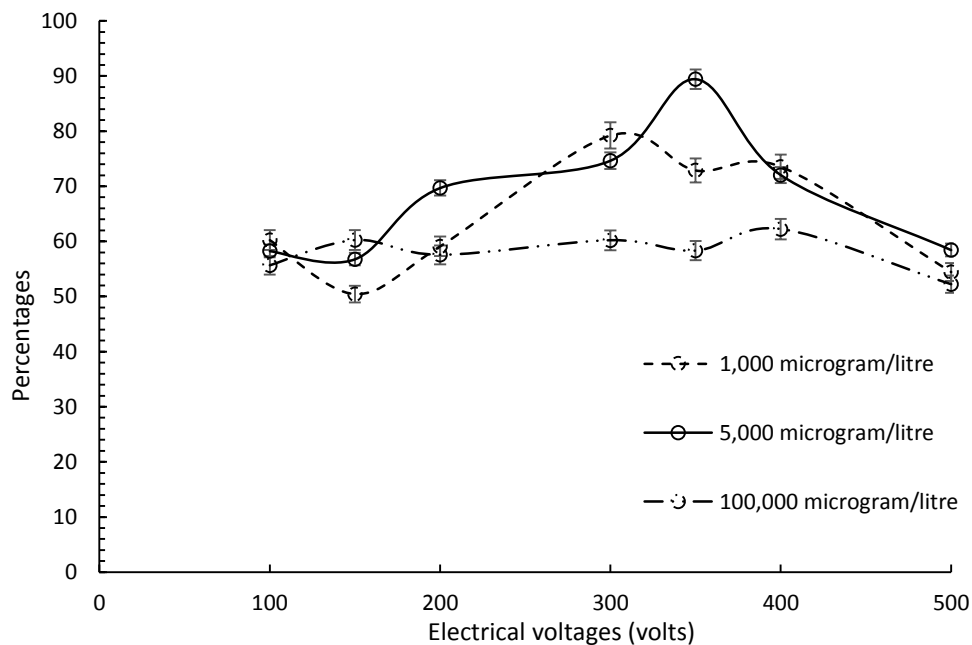
ตรวจสอบผลการนำส่งของสารฮอริโมน MT ที่เข้าสู่เอ็มบริโอโดยพิจารณาจาก “RNA expression profile” ของยีนที่เกี่ยวข้องด้วยวิธีสกัด total RNA จากเอ็มบริโอที่ล้างด้วยสารละลาย Mannitol เข้มข้น 0.5 โมล จำนวน 1 ครั้ง เทสารละลาย Mannitol ออกแล้วเติมด้วย Trizol ในอัตราส่วน 500 มิลลิลิตร ต่อเอ็มบริโอจำนวน 5 ฟอง (เอ็มบริโอ 1 ฟองมีมวลเฉลี่ย  $10.05 \pm 0.79$  มิลลิกรัม) แล้วบดเอ็มบริโอในแต่ละชุดเพื่อเก็บตัวอย่างรักษาไว้ในอุณหภูมิ  $-20$  องศาเซลเซียส ตรวจสอบยีนที่มีปริมาณการแสดงออกแปรผลตามปริมาณ MT ที่ถูกนำส่งเข้าสู่เซลล์ ด้วยเทคนิค Quantitative real-time PCR (qRT-PCR) เพื่อเปรียบเทียบกับกลุ่มควบคุมที่ไม่ได้รับ MT ทำการตรวจสอบเชิงปริมาณสารฮอริโมนเพศ MT ที่ถูกนำส่งเข้าสู่เอ็มบริโอด้วยเทคนิค Liquid chromatography mass spectrometry/mass spectrometry (LC-MS/MS) ซึ่งเป็นวิธีการตรวจวัดผลเชิงปริมาณโดยรายงานผลปริมาณสารฮอริโมนเพศ MT ในหน่วยไมโครกรัมต่อมวลหน่วยเอ็มบริโอ โดยใช้ตัวอย่างที่มีมวลรวม 5 กรัมต่อชุดการทดสอบ (เทียบเท่าเอ็มบริโอจำนวน 500 ฟอง) ชุดที่เลือกทำการทดสอบได้แก่ชุดควบคุมและชุดการทดลองศักย์ไฟฟ้า 300-350-400 โวลต์ ตามลำดับ

#### **ผลการวิจัย**

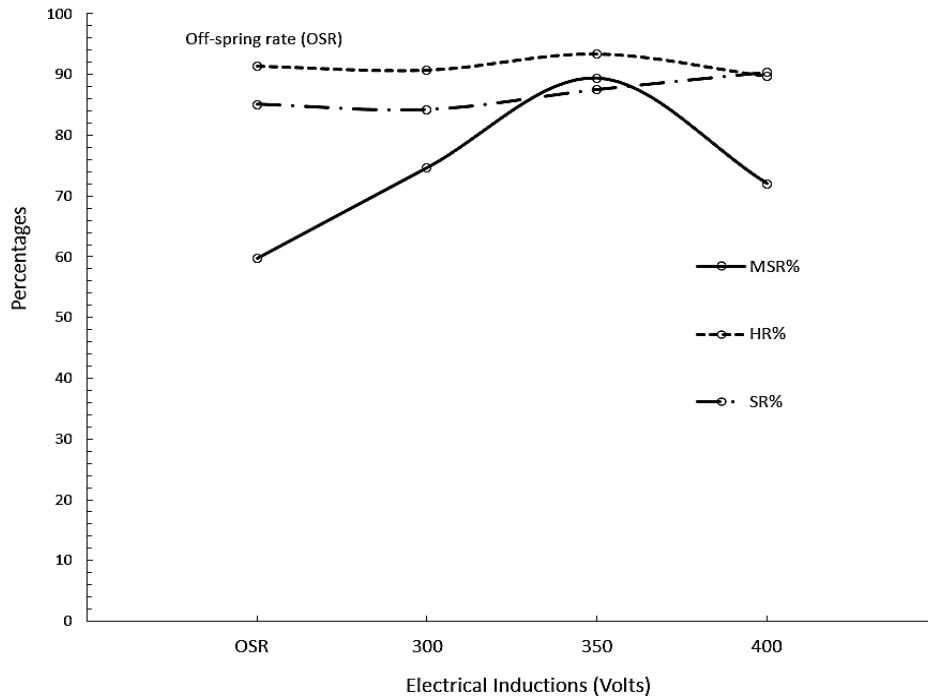
##### ผลของสนามไฟฟ้าต่อการขยายรูเยื่อหุ้มเซลล์เอ็มบริโอ

ผลการตรวจสอบเอ็มบริโอสายพันธุ์จัตราดา (*Oreochromis niloticus* L., Chitralada) อายุในระยะ “segmentation” ถึง “pharyngula” (2-3 วัน หลังปฏิสนธิ) ของชุดควบคุม (control) ที่ไม่ได้ผ่านการกระตุ้นด้วยสนามไฟฟ้าพบว่ารูเยื่อหุ้มเซลล์เอ็มบริโอมีความหนาแน่นรู (pore density)  $0.73 \pm 0.02$  (รูต่อตารางไมครอน) เส้นผ่านศูนย์กลางรูเฉลี่ย  $232 \pm 14$  นาโนเมตร

ยอดข้าวปลายด้านแหลมของเอ็มบริโอมีรูขนาดเส้นผ่านศูนย์กลาง  $11.1 \pm 0.4$  ไมโครเมตร ซึ่งมีขนาดใหญ่กว่ารูปกบติที่กระจายอยู่ตามผิวเอ็มบริโอ เมื่อกระตุ้นด้วยสนามไฟฟ้าพัลส์รูปคลื่นสี่เหลี่ยมชุดค่าศักย์ไฟฟ้าเริ่มต้น 100-500 โวลต์ ความเข้มข้นสารละลายฮอร์โมน 1,000 – 5,000 – 100,000 ไมโครกรัม ลิตร<sup>-1</sup> พบว่าชุดศักย์ไฟฟ้าในช่วง 300-400 โวลต์ ความเข้มข้นสารละลายฮอร์โมน 5,000 ไมโครกรัม ลิตร<sup>-1</sup> (ความเข้มสนามไฟฟ้าในช่วง 75-100 กิโลโวลต์ เมตร<sup>-1</sup> คาบสัญญาณ 100 ไมโครวินาที อัตราส่วนช่วงสัญญาณบวกและศูนย์ 50:50 ไมโครวินาที จำนวน 3 ลูกคลื่น) ให้อัตราการแปลงเพศผู้สูงอย่างมีนัยสำคัญ ทั้งนี้ที่ผิวเอ็มบริโอเมื่อถูกกระตุ้นด้วยสนามไฟฟ้ามีขนาดเส้นผ่านศูนย์กลางรู  $662 \pm 24$  นาโนเมตร ความหนาแน่นรูของชุดควบคุมและชุดกระตุ้นด้วยไฟฟ้าค่าดังกล่าวมีค่าใกล้เคียงกันกล่าวคือประมาณ 0.75 (รูต่อตารางไมครอน) โดยขนาดเส้นผ่านศูนย์กลางรูเอ็มบริโอยังคงเท่าเดิม โดยผลการทดลองของศักย์ไฟฟ้าทุกชุดให้ผลอัตราการแปลงเพศผู้ อัตราการฟัก และอัตราการรอดแบบไม่เชิงเส้น (non-linear regressions) ที่สูงกว่าชุดควบคุม



**ภาพที่ 4** อัตราการแปลงเพศผู้ (MSR) ของชุดการทดลองสารละลายฮอร์โมน MT เข้มข้น 1,000-100,000 ไมโครกรัม ลิตร<sup>-1</sup> เจือไนซัคย์ไฟฟ้าเริ่มต้นทดสอบที่ช่วง 100-500 โวลต์ (คาบสัญญาณ 100 ไมโครวินาที จำนวน 3 ลูกคลื่น) เพื่อประเมินเงื่อนไขการทดลองที่เหมาะสมสำหรับอัตราการแปลงเพศ อัตราการฟัก และอัตราการรอดสูงอย่างมีนัยสำคัญ



**ภาพที่ 5** อัตราการแปลงเพศผู้ (MSR) อัตราการฟัก (HR) อัตราการรอด (SR) และของชุดคักยไฟฟ้าช่วงที่ให้อัตราการแปลงเพศสูงอย่างมีนัยสำคัญ 300-350-400 โวลต์ (คาบสัญญาณ 100 ไมโครวินาที จำนวน 3 ลูกคลื่น สารละลายฮอริโมน MT เข้มข้น 5,000 ไมโครกรัม ลิตร<sup>-1</sup>) เปรียบเทียบผลกับชุดควบคุม (OSR)

ผลการตรวจสอบอัตราแปลงเพศผู้ อัตราการฟัก และอัตราการรอด

ผลการตรวจสอบการแปลงเพศปลานิล อัตราแปลงเพศผู้ (male-sex reversal rate, MSR) อัตราการฟัก (hatching rate, HR) และอัตราการรอด (survival rate, SR) ของชุดการทดลองควบคุม (control) และชุดการทดลองที่ใช้เงื่อนไขคักยไฟฟ้ากระตุ้น พบว่าชุดควบคุมมีอัตราเพศผู้และเมียโดยธรรมชาติ (off-spring rate, OSR) คือ 59.71%±3.00% และ 46.33%±1.53% ตามลำดับ อัตราการฟัก (hatching rate, HR) 91.33%±1.53% และอัตราการรอด (survival rate, SR) 85.08%±4.16% สำหรับชุดการทดลองกระตุ้นด้วยคักยไฟฟ้าพบว่าชุดการทดลอง 350 โวลต์ให้ผลอัตราแปลงเพศผู้สูงสุด (MSR) ที่ 89.42%±2.28% อัตราการฟัก (hatching rate, HR) 93.33%±0.58% และอัตราการรอด (survival rate, SR) 87.49%±1.71% ตามลำดับ โดยใช้เงื่อนไขคาบสัญญาณพัลส์ 100 ไมโครวินาที (อัตราส่วนช่วงสัญญาณบวกและศูนย์ 50:50 ไมโครวินาที) จำนวนสัญญาณพัลส์ 3 ลูกคลื่น และสารละลายฮอริโมน MT มีความเข้มข้น 5,000 ไมโครกรัม ลิตร<sup>-1</sup> ผลเปรียบเทียบแสดงดังภาพที่ 4 และ 5



### ผลตรวจสอบการแสดงออกของยีนเพศ (qRT-PCR)

ผลทดสอบแบ่งเป็น 4 ชุด ได้แก่ชุดที่ไม่กระตุ้นด้วยสนามไฟฟ้าแบบมีสารฮอร์โมนเพศ MT (ชุดการทดลอง A) และแบบไม่มีสารฮอร์โมนเพศ (ชุดการทดลอง B) ชุดที่กระตุ้นด้วยสนามไฟฟ้าและมีสารฮอร์โมนเพศ MT (ชุดทดลอง C) และชุดที่กระตุ้นด้วยสนามไฟฟ้าและไม่มีสารฮอร์โมนเพศ (ชุดทดลอง D) ผลการวิจัยพบว่าการแสดงออกของยีนควบคุมในทุกชุดการทดลองแต่การแสดงออกของยีนเป้าหมายที่ใช้ในการพัฒนาเพศในเอ็มบริโอของชุดทดสอบทั้ง 4 ให้ผลแตกต่างกัน โดยชุดการทดลอง A และ B พบว่าให้ผลเหมือนกับกรณีชุดการทดลอง D เมื่อตรวจสอบ PCR products ของ up-regulated genes และ down-regulated genes พบว่าไม่สามารถตรวจพบการแสดงออกของยีนพัฒนาเพศผู้ ซึ่งชุดการทดลองเอ็มบริโอชุดที่ไม่ถูกกระตุ้นด้วยสนามไฟฟ้า A และ B ไม่มีผลต่อการพัฒนาเพศในเอ็มบริโอ ส่วนกรณีชุดที่กระตุ้นด้วยสนามไฟฟ้าและมีสารฮอร์โมนเพศ MT (ชุดทดลอง C) เพียงชุดเดียวที่พบยีนแสดงออกเพิ่มขึ้น 5 ยีน และยีนที่แสดงออกลดลงจำนวน 1 ยีน โดยยีนที่แสดงออกเพิ่มขึ้น 5 ยีนที่พบ ได้แก่ *amh*, *ar*, *dmt1*, *gsdf* และ *hsd11b2* ยีนที่ลดการแสดงออกตรวจพบ 1 ยีน ได้แก่ *gsdf* และยีนที่แสดงออกอย่างต่อเนื่อง (control) ได้แก่ *rpl13a* ตามลำดับ

### ผลการตรวจสอบปริมาณสารฮอร์โมนเพศ $17\alpha$ -Methyltestosterone (MT) ด้วยวิธี LC-MS/MS

ผลการตรวจสอบพบว่าชุดควบคุม (control) ไม่พบปริมาณสารฮอร์โมนเพศ MT (0 ไมโครกรัมต่อกิโลกรัม, LOD 10.00) ชุดการทดลองศักย์ไฟฟ้า 300 โวลต์ ตรวจพบปริมาณสารฮอร์โมนเพศ MT ปริมาณ  $51.87 \pm 1.11$  ไมโครกรัมต่อกิโลกรัม (LOD 10.00) คิดเทียบเป็นปริมาณสารฮอร์โมนเพศ MT ปริมาณ  $0.52 \times 10^{-3}$  ไมโครกรัมต่อฟอง หรือ 0.52 นาโนกรัมต่อฟอง ชุดการทดลองศักย์ไฟฟ้า 350 โวลต์ ตรวจพบปริมาณสารฮอร์โมนเพศ MT ปริมาณ  $155.50 \pm 0.75$  ไมโครกรัมต่อกิโลกรัม คิดเทียบเป็นปริมาณสารฮอร์โมนเพศ MT ปริมาณ  $1.56 \times 10^{-3}$  ไมโครกรัมต่อฟอง หรือ 1.56 นาโนกรัมต่อฟอง และชุดการทดลองศักย์ไฟฟ้า 400 โวลต์ ตรวจพบปริมาณสารฮอร์โมนเพศ MT ปริมาณ  $37.07 \pm 1.09$  ไมโครกรัมต่อกิโลกรัม คิดเทียบเป็นปริมาณสารฮอร์โมนเพศ MT ปริมาณ  $0.37 \times 10^{-3}$  ไมโครกรัมต่อฟอง หรือ 0.37 นาโนกรัมต่อฟอง ตามลำดับ ทั้งนี้เอ็มบริโอมีมวลเฉลี่ย  $10.055 \pm 0.79$  มิลลิกรัมต่อฟอง และเอ็มบริโอจำนวน 1 กิโลกรัมเทียบเท่าจำนวน 99,502.49 ฟอง ( $\pm 7.87\%$ ) ตามลำดับ

### **วิจารณ์ผลการวิจัย**

#### ความสัมพันธ์ระหว่างการขยายรูที่มิวเซลล์เอ็มบริโอกับอัตราการแปลงเพศ

ผลการวิจัยพบว่าชุดการทดลอง 350 โวลต์ ให้ผลอัตราเพศผู้ (male-sex reversal rate, MSR) และอัตราการฟัก (hatching rate, HR) มีค่าสูงกว่าชุดควบคุมและมีค่าสูงที่สุดเมื่อเปรียบเทียบกับชุดการทดลองศักย์ไฟฟ้า 300 และ 400 โวลต์ กล่าวคือ MSR =  $89.42\% \pm 2.28\%$  และ HR =  $93.33\% \pm 0.58\%$  ตามลำดับ อย่างไรก็ตาม อัตราการรอด (survival rate, SR)  $87.49\% \pm 1.71\%$  มีค่าเป็นรองจากชุดการทดลองศักย์ไฟฟ้า 400 โวลต์ ทั้งนี้เมื่อเปรียบเทียบผล MSR กับ off-spring rate (OSR = 29.71%) พบว่าชุดการทดลอง 350 โวลต์ สามารถเพิ่มส่วนต่างให้มีเพศผู้ด้วยอัตราที่สูงขึ้นมากกว่าชุดควบคุมอย่างมีนัยสำคัญ โดยมีอัตราการเพิ่มขึ้นเพศผู้ (Increasing Male-Sex Reversal Rate, IMSR) 29.71% ซึ่งสูงที่สุดเมื่อเปรียบเทียบ



กับผลการทดลองชุดอื่น ทั้งนี้ชุดการทดลองศักย์ไฟฟ้าดังกล่าวให้ผลอัตราการแปลงเพศผู้ (MSR) อัตราการฟัก (HR) และอัตราการรอด (SR) ที่มีความสัมพันธ์แบบไม่เชิงเส้น (non-linear regressions) แบบสมการพหุนาม (ดีกรี 3) และพบว่าค่าทั้ง 3 มีความสัมพันธ์กับค่าศักย์ไฟฟ้าและขนาดเส้นผ่านศูนย์กลางรู (นาโนเมตร) แบบไม่เชิงเส้นเช่นเดียวกัน เมื่อเชื่อมโยงความสัมพันธ์เหล่านี้พบว่ามีความสอดคล้องกับกลไกการเปิดขยายรูที่มีลักษณะรูปแบบ “threshold pattern” หมายถึงเมื่อเพิ่มแรงดันศักย์ไฟฟ้าถึงค่าจำเพาะที่ประมาณ 300 โวลต์ รูที่ผิวเซลล์เอ็มบริโอจึงเกิดการตอบสนองโดยขยายตัวเปิดกว้างกว่าเดิมเป็นลำดับเท่า โดยตอบสนองสูงสุดที่ศักย์ไฟฟ้า 350 โวลต์ แล้วลดการตอบสนองลงสิ้นสุดที่ประมาณ 400 โวลต์ (ภาพที่ 4 และ 5) เมื่อพิจารณาอัตราการแปลงเพศที่ให้ค่าสูงสุดซึ่งตรงกับศักย์ไฟฟ้า 350 โวลต์ พบว่ามีความสัมพันธ์กับขนาดของรูที่ผิวเซลล์เอ็มบริโอที่เปิดกว้างมากที่สุด แต่อัตราส่วนระหว่างอัตราแปลงเพศต่อขนาดรูไม่ได้เป็นสัดส่วนแปรผันตรงกันกับขนาดของรูที่ขยายใหญ่ขึ้น กล่าวคือรูที่ขยายใหญ่ขึ้นจากเดิม 3 เท่าไม่ได้ทำให้อัตราแปลงเพศผู้มีค่าเพิ่มจากเดิม 3 เท่า แต่ผลกลับมีค่าสอดคล้องกับปริมาณสารฮอโมนเพศ MT ที่ถูกตรวจพบในเอ็มบริโอด้วยวิธี LC-MS/MS โดยขนาดเส้นผ่านศูนย์กลางของรูเอ็มบริโอที่ผิวเซลล์ของชุดควบคุมมีค่าเฉลี่ย  $232 \pm 14$  นาโนเมตร และเมื่อผ่านการกระตุ้นด้วยสนามไฟฟ้าพัลส์พบว่ามีความเพิ่มขึ้นเป็น  $662 \pm 24$  นาโนเมตร อย่างไรก็ตามผลของศักย์ไฟฟ้าไม่มีความสัมพันธ์กับการเพิ่มจำนวนรูและความหนาแน่นรูที่ผิวเซลล์เอ็มบริโอยังคงเท่าเดิมในช่วง  $0.73 - 0.78$  (รูต่อตารางไมครอน) หมายถึงไม่พบการเพิ่มจำนวนรูที่เกิดขึ้นใหม่ เป็นที่น่าสนใจว่าเมื่อพิจารณาจากภาพ SEM ภายหลังจากกระตุ้นเอ็มบริโอทุกชุดด้วยสนามไฟฟ้าพัลส์ตามเงื่อนไขไฟฟ้าพบว่ารูที่ผิวเอ็มบริโอมีความสะอาดมากกว่าเดิมโดยปราศจากเศษอนุภาคชีวภาพปกคลุม มีนัยว่าสนามไฟฟ้าพัลส์เงื่อนไขดังกล่าวอาจมีผลต่อการขจัดเศษอนุภาคชีวภาพที่ผิวเซลล์เอ็มบริโอ ลักษณะดังกล่าวอธิบายได้ด้วยหลักการแรงไฟฟ้าไดอิเล็กโทรโฟรีติก (dielectrophoretic force) ที่กระทำต่ออนุภาคชีวภาพที่ปกคลุมที่ผิวเซลล์ชีวภาพเมื่อเอ็มบริโออยู่ในสารละลายฮอโมนเพศ MT ซึ่งมีสภาพนำไฟฟ้าต่ำเมื่อถูกแรงไฟฟ้ากระทำจะทำให้อนุภาคชีวภาพเหล่านั้นเกิดการเคลื่อนที่ตามทิศของเกรเดียนต์ของสนามไฟฟ้า (electric field gradient) อันเกิดจากเซลล์เอ็มบริโอมีลักษณะทรงรีซึ่งเป็นกรณีที่ให้ผลคล้ายกับพฤติกรรมเคลื่อนที่ของเซลล์ชีวภาพทรงรีในสนามไฟฟ้ากระแสลับด้วยแรงไดอิเล็กโทรโฟรีติก (Bunthawin *et al.*, 2010; Bunthawin *et al.*, 2011; Bunthawin *et al.*, 2013)

#### การแสดงออกของยีนพัฒนาเพศและปริมาณสารฮอโมน MT ที่ตรวจพบในเอ็มบริโอ

การแสดงออกของยีนที่พบในเอ็มบริโอชุดที่ถูกกระตุ้นด้วยสนามไฟฟ้าและมีสารฮอโมนเพศ MT (ชุดทดลอง C) เพียงชุดเดียวที่พบยีนแสดงออกเพิ่มขึ้น 5 ยีน และยีนที่แสดงออกลดลงจำนวน 1 ยีน โดยยีนที่แสดงออกเพิ่มขึ้น 5 ยีนที่พบได้แก่ *amh*, *ar*, *dmrt1*, *bmp15*, *gfd9* และยีนที่ลดการแสดงออกตรวจพบ 1 ยีน ได้แก่ *gsdf* ซึ่งผลการตรวจสอบมีความเพียงพอในเชิงคุณภาพที่ใช้อ้างอิงถึงผลการนำส่งสารฮอโมนเพศผู้ MT ที่เข้าสู่ภายในเซลล์เอ็มบริโอด้วยสนามไฟฟ้าพัลส์ที่สัมพันธ์กับการแสดงออกของยีนพัฒนาเพศผู้ ในส่วนของการตรวจสอบเชิงปริมาณสารฮอโมนเพศ MT ด้วยวิธี LC-MS/MS พบว่าชุดเอ็มบริโอที่กระตุ้นด้วยสนามไฟฟ้าพัลส์ 300-350-400 โวลต์ บ่งชี้ให้เห็นว่ามีปริมาณสารฮอโมนเพศ MT สูงกว่าของชุดควบคุมอย่างมีนัยสำคัญ การกระตุ้นเอ็มบริโอด้วยสนามไฟฟ้าพัลส์จึงมีความสัมพันธ์ต่อการนำส่งสารฮอโมนเพศเข้าสู่เอ็มบริโอ โดยชุดควบคุม (control) ตรวจไม่พบปริมาณสารฮอโมนเพศ MT ซึ่งเป็นไปตามที่คาดหมายเพราะชุดควบคุมไม่ได้



ถูกกระตุ้นด้วยสนามไฟฟ้าและไม่มีสารฮอร์โมนเพศ MT ส่วนชุดการทดลองศักย์ไฟฟ้า 300 โวลต์ และ 400 โวลต์ ตรวจพบปริมาณสารฮอร์โมนเพศ MT น้อยลงตามลำดับ ทั้งนี้ปริมาณ MT ที่ตรวจพบชุดศักย์ 350 โวลต์มีค่าสูงกว่าชุดอื่นถึง 3 เท่า สอดคล้องกับขนาดรูที่ขยายเพิ่มขึ้น 3 เท่า ซึ่งผลการตรวจสอบเชิงปริมาณด้วยวิธี LC-MS/MS เป็นผลยืนยันแสดงให้เห็นว่าสารฮอร์โมนเพศ MT ได้ถูกนำส่งเข้าสู่เอ็มบริโอด้วยปริมาณต่างๆ ตามเงื่อนไขทางไฟฟ้าที่ระบุ

### กลไกการรอดผ่านรูของโมเลกุลสารฮอร์โมนเพศ MT และการแสดงออกของยีนพัฒนาเพศในเอ็มบริโอ

สารสังเคราะห์ฮอร์โมนเพศผู้  $17\alpha$ -Methyltestosterone (MT) ( $C_{20}H_{30}O_2$ ) ในสภาวะปกติเป็นกลางทางไฟฟ้า เมื่ออยู่ในสารละลายที่มีสภาพนำไฟฟ้าต่ำและถูกกระตุ้นด้วยสนามไฟฟ้าจะเกิดประจุไฟฟ้าและถูกแรงผลักทำให้เคลื่อนที่ด้วยแรงจลึงโทโรฟอเรติก (electrophoretic force) อันเกิดจากอิทธิพลของสนามไฟฟ้ากระทำต่อไดโพลิกทริก (Pohl, 1978) เกิดปรากฏการณ์การเคลื่อนที่ผ่านรูที่เยื่อหุ้มเซลล์สิ่งมีชีวิตที่เปิดขยายกว้างชั่วคราวตามทิศทางของเกรเดียนต์ของสนามไฟฟ้า (electric field gradient) ที่ซึ่งได้รับอิทธิพลจากสนามไฟฟ้าแบบไม่เอกกรุป (non-uniform electric field) อันเกิดจากเซลล์เอ็มบริโอเป็นทงรี (Bunthawin *et al.*, 2010; Bunthawin *et al.*, 2011) ทั้งนี้เมื่อเยื่อหุ้มเซลล์เอ็มบริโอซึ่งมีโครงสร้างแบบฟอสโฟไลปิดไบเลเยอร์ (phospholipid bilayer) เกิดการขยายรูเมื่อถูกกระตุ้นด้วยสนามไฟฟ้าพัลส์ ส่งผลให้เกิดการเคลื่อนที่ของสารฮอร์โมนเพศรอดผ่านรูโดยง่ายกว่าสถานะปกติเมื่อไม่มีสิ่งเร้ามากระตุ้น โดยสมมติฐานเมื่อสารฮอร์โมนเพศเข้าสู่ภายในเซลล์เอ็มบริโอจะเคลื่อนที่เข้าภายในและถูกไซโตโครมที่อยู่ที่เยื่อหุ้มเซลล์ซึ่งมีตัวรับ (receptor) พาเข้าสู่นิวเคลียสตามลำดับ ทั้งนี้เมื่อเซลล์ได้รับสารฮอร์โมนเพศ MT แล้วจะมีการตอบสนองโดยกระตุ้นการแสดงออกของยีนจำเพาะบางกลุ่มที่ทำหน้าที่กระตุ้นยีนที่เกี่ยวข้องกับการพัฒนาของอวัยวะสืบพันธุ์เพศผู้โดยอาศัยยีนเป็นสาย DNA ที่ใช้เป็นแม่แบบ (template) ในการผลิต RNA (transcription) ซึ่งถูกใช้เป็นแม่แบบในการผลิตโปรตีน (translation) อย่างไรก็ตามการแสดงออกในระดับ “transcription” และ “translation” ของแต่ละยีนอาจไม่เท่ากันขึ้นกับสิ่งเร้าที่กระตุ้นเซลล์ ซึ่งกระบวนการเปลี่ยนเพศที่เกิดขึ้นอาจเกิดขึ้นในภายหลังจากที่เอ็มบริโอได้รับสารฮอร์โมนเพศมาสังเคราะห์หนึ่ง ด้วยกลไกการจดจำเป้าหมายที่ถูกนำส่งเข้าสู่เซลล์ที่ซึ่งมีความเกี่ยวข้องกับการแสดงออกของยีนในระดับ RNA ของลูกปลานิลระยะแรกฟัก ทั้งนี้หากเทียบเคียงผลการศึกษพบว่า “receptors” ของสารฮอร์โมนเพศ MT ในลูกปลานิลที่มี 2 isoform คือ “Alpha” และ “Beta AR” (androgen receptors) เมื่อ receptor จับตัวกับฮอร์โมนเพศ MT แล้วทำให้เกิด “conformational change” จับกันเองเป็น “dimer” แล้วเคลื่อนที่เข้าไปในนิวเคลียสในเอ็มบริโอเพื่อทำหน้าที่เป็น “transcription factor” ของยีนจำเพาะที่ซึ่งอาจเกี่ยวข้องกับการเปลี่ยนเพศปลาในลำดับถัดมา เมื่อเทียบผลการศึกษากับรูปแบบการสังเคราะห์ฮอร์โมนและกลไกการทำงานในกรณีเอ็มบริโอม้าลาย (zebra fish) พบว่าสารฮอร์โมนเพศผู้ (androgen) ที่พบคือ 11-Ketotestosterone (11-KT) เป็นสารที่ได้จากตัวตั้งต้น 2 ตัวคือ “Androstenedione” และ “Testosterone” ด้วยการทำงานร่วมกันของเอนไซม์  $11\beta$ -Hydroxylase (Cyp11c1) และเอนไซม์  $11\beta$ -Hydroxysteroid dehydrogenase (Hsd11b2) โดยมีความใกล้เคียงกับสารฮอร์โมนเพศ  $17\alpha$ -Methyltestosterone (MT),  $17\alpha$ -Methyl dihydrotestosterone,  $17\beta$ -Trenbolone, Mibolone และ Mesterolone ตามลำดับ หากเปรียบเทียบผลกับการศึกษาลูกปลาม้าลายแรกฟักที่ได้รับผลจากสารฮอร์โมนเพศผู้  $17\alpha$ -Methyltestosterone (MT) พบการแสดงออกของยีนอื่นหลายตัวที่เกี่ยวข้องกับการพัฒนาเพศและการกำหนดเพศผู้ได้แก่ *amh*, *dmrt1*, *gsdf* และ *wt1a* รวมถึงยีนที่



เกี่ยวข้องกับการสังเคราะห์ 11-Ketotestosterone ได้แก่ *cyp11c1* และ *hsd11b2* ในขณะเดียวกันพบว่ายีนเพศเมียหลายตัวที่ถูกกดการทำงานลง ส่วนใหญ่เป็นยีนที่เกี่ยวข้องกับการพัฒนาของรังไข่ เช่น *bmp15*, *gdf9*, *figla*, *zp2.1* และ *zp3b* อย่างไรก็ตามการทำงานของสารฮอร์โมนเพศผู้ MT ที่ตัวอ่อนปลาได้รับโดยหลักการเชิงทฤษฎีจำเป็นต้องอาศัยโปรตีนเป็นตัวรับ (androgen receptor, AR) ที่ซึ่งตั้งอยู่ภายในไซโตพลาสซึมของเซลล์ เมื่อเกิดการจับตัวระหว่างกันจะกระตุ้นให้ AR มีการเปลี่ยนแปลงโครงสร้าง (conformational change) เกิดการจับกันเป็นคู่ (dimer) แล้วจึงเคลื่อนที่เข้าสู่นิวเคลียสพร้อมกันเพื่อทำหน้าที่ใหม่เป็น “transcription factor” เพื่อกระตุ้นการสังเคราะห์ยีนเป้าหมายเป็นลำดับต่อไป

### สรุปผลการวิจัย

เอ็มบริโอสายพันธุ์จิวตลาตา (*Oreochromis niloticus* L., Chitralada) ที่มีอายุในช่วงพัฒนาการ “segmentation” ถึง “pharyngula” (2-3 วัน หลังปฏิสนธิ) คือระยะที่ดีที่สุดในการแปลงเพศด้วยวิธีกระตุ้นด้วยสนามไฟฟ้าพัลส์ โดยชุดการทดลองที่ให้ผลอัตราแปลงเพศผู้สูงสุดคือชุดศักย์ไฟฟ้า 350 โวลต์ คาบสัญญาณ 100 ไมโครวินาที (อัตราส่วนช่วงสัญญาณบวกและศูนย์ส่วนละ 50 ไมโครวินาที) จำนวน 3 ลูกคลื่น มีอัตราการแปลงเพศผู้ (MSR)  $89.42\% \pm 2.28\%$  อัตราการฟัก (hatching rate, HR)  $93.33\% \pm 0.58\%$  และอัตราการรอด (survival rate, SR)  $87.49\% \pm 1.71\%$  ตามลำดับ ผลการตรวจสอบการแสดงออกของยีนด้วยเทคนิค qRT-PCR (Quantitative real-time PCR) พบว่าชุดศักย์ไฟฟ้า 350 โวลต์ เมื่อสกัด RNA พบยีนแสดงออกเพิ่มขึ้นชัดเจน 5 ยีน และยีนที่แสดงออกลดลงจำนวน 1 ยีน โดยยีนที่แสดงออกเพิ่มขึ้น 5 ยีนที่พบ ได้แก่ *amh*, *ar*, *dmt1*, *bmp15*, *gdf9* ยีนที่ลดการแสดงออกตรวจพบ 1 ยีน ได้แก่ *gsdf* และยีนที่แสดงออกอย่างต่อเนื่อง (control) ได้แก่ *rp13a* ทั้งนี้ผลตรวจสอบกับชุด 300 และ 400 โวลต์ พบการแสดงออกของยีนพัฒนาเพศไม่เด่นชัด ผลการตรวจสอบปริมาณสารฮอร์โมนเพศที่ถูกนำส่งในเอ็มบริโอด้วยเทคนิค LC-MS/MS (Chromatography Mass Spectrometry/Mass Spectrometry) พบว่าชุดควบคุม (control) ตรวจไม่พบปริมาณสารฮอร์โมนเพศ MT ชุดการทดลองศักย์ไฟฟ้า 300 โวลต์ ตรวจพบปริมาณสารฮอร์โมนเพศ MT ปริมาณ  $51.87 \pm 1.11$  ไมโครกรัมต่อกิโลกรัม คิดเทียบเป็นปริมาณสารฮอร์โมนเพศ MT ปริมาณ  $0.52 \times 10^{-3}$  ไมโครกรัมต่อฟอง หรือ 0.52 นาโนกรัมต่อฟอง ชุดการทดลองศักย์ไฟฟ้า 350 โวลต์ ตรวจพบปริมาณสารฮอร์โมนเพศ MT ปริมาณ  $155.50 \pm 0.75$  ไมโครกรัมต่อกิโลกรัม คิดเทียบเป็นปริมาณสารฮอร์โมนเพศ MT ปริมาณ  $1.56 \times 10^{-3}$  ไมโครกรัมต่อฟอง หรือ 1.56 นาโนกรัมต่อฟอง และชุดการทดลองศักย์ไฟฟ้า 400 โวลต์ ตรวจพบปริมาณสารฮอร์โมนเพศ MT ปริมาณ  $37.07 \pm 1.09$  ไมโครกรัมต่อกิโลกรัม คิดเทียบเป็นปริมาณสารฮอร์โมนเพศ MT ปริมาณ  $0.37 \times 10^{-3}$  ไมโครกรัมต่อฟอง หรือ 0.37 นาโนกรัมต่อฟอง ตามลำดับ

### กิตติกรรมประกาศ

งานวิจัยนี้ได้รับทุนสนับสนุนจากศูนย์เทคโนโลยีอิเล็กทรอนิกส์และคอมพิวเตอร์แห่งชาติ สำนักงานพัฒนาวิทยาศาสตร์และเทคโนโลยีแห่งชาติ (รหัสโครงการ NT-FD-B-22-EDS-19-56-02) และทุนสนับสนุนจากโปรแกรมเซนเซอร์ฯ ของฝ่ายบริหารคลังเตอร์และโปรแกรมวิจัยในโครงการ “การแปลงเพศปลานิลด้วยเทคนิคไฟฟ้าจากต้นแบบสู่ระดับพร้อมใช้



งานเชิงพาณิชย์” (รหัสโครงการ P15-50561) และทุนสนับสนุนจากโปรแกรมเซนเซอร์ฯของฝ่ายบริหารคลังเตอร์และโปรแกรมวิจัยในโครงการ “การระบุตำแหน่งรวมถึงปริมาณฮอร์โมนเพศผู้และการแสดงออกของยีนพัฒนาเพศของปลานิลที่เป็นผลจากการกระตุ้นด้วยสนามไฟฟ้าพัลส์” (รหัสโครงการ P18-50799 ดำเนินการ พ.ศ. 2562-2563) ขอขอบพระคุณนายกฤษฎพันธุ์ โภเมนไปรรินทร์ ผู้อำนวยการศูนย์วิจัยและพัฒนาพันธุ์สัตว์น้ำเพชรบุรี และนายพรพนม พรหมแก้ว ผู้อำนวยการศูนย์วิจัยและพัฒนาประมงน้ำจืดสงขลา กรมประมง สำหรับตัวอย่างเอ็มบริโอเพื่อการทดลอง และขอบคุณ ดร.ชมดาว สิ้นธุณิษฐ์ และทีมนักศึกษาห้องปฏิบัติการภาคภาควิชาชีวเคมี คณะวิทยาศาสตร์ มหาวิทยาลัยเกษตรศาสตร์ สำหรับความช่วยเหลือปฏิบัติการด้านชีวเคมี

### เอกสารอ้างอิง

- Bunthawin, S., Wanichapichart, P. and Gimsa, J. (2007). An investigation of dielectric properties of biological cells using RC-model, *Songklanakarin Journal of Science and Technology*, 29(4), 1163-1181.
- Bunthawin, S., Wanichapichart, P., Tuantranont, A. and Coster, H. G. L. (2010). Dielectrophoretic spectra of translational velocity and critical frequency for a spheroid in traveling electric fields, *Biomicrofluidics*, 4(014102), 1-13 (Doi:10.1063/1.3294082).
- Bunthawin, S. Raymond J. R. and Wanichapichart, P. (2011). Dielectrophoresis of *Tetraselmis* sp., a unicellular green alga, in travelling electric fields analyzed using the RC model for a spheroid. *Songklanakarin Journal of Science and Technology*, 33 (5), 585-597.
- Bunthawin, S. and Raymond J. R. (2013). Simulation of translational dielectrophoretic velocity spectra of erythrocytes in traveling electric field using various volume models, *Journal of Applied Physics*, 113(014701), 1-10 (Doi:10.1063/1.4773326).
- Bunthawin, S., Sornsilpa, T., Tuantranont, A., Jaruwongrangsri, K. and Raymond J.R. (2015). Monosex-male sex reversal of Nile tilapia embryos using pulse-electric field inductions. *Computational and Theoretical Nanoscience*, 12, 1-5.
- Chang, D. C., Chassy, B. M., Saunders, J. A. and Sowers, A. E. (1992). *Guide to electroporation and electrofusion*. California: Academic Press.



Chervinski, J. and Rothbard, S. (1982). An aid in manually sexing tilapia. *Aquaculture*, 26, 389.

Department of Fisheries. (2017). Fisheries Statistics of Thailand. In *Annual Report No.9/2019*. (pp. 40-74).  
Bangkok: Ministry of Agriculture and Cooperatives.

McAndrew, B. J. (1993). *Sex control in Tilapiines*. London: Blackwell.

Pohl, H. A. (1978). *Dielectrophoresis: The behavior of neutral matter in non-uniform electric fields*.  
Cambridge: Cambridge University Press.

Srisakultiew, P. (2003). Study on status of Nile tilapia sex reversal to reduce cost. In *Complete research report*. (pp. 11-12). Bangkok: Thailand Research Fund.

Tsong, T. Y. (1991). Electroporation of cell membranes. *Biophysical Journal*, 60, 297-306.